

УДК 517.957

UDC 517.957

ОПТИМИЗАЦИЯ КОМПАКТНЫХ РАЗНОСТНЫХ СХЕМ СПЕКТРАЛЬНОГО РАЗРЕШЕНИЯ В МЕТОДЕ ДРОБНЫХ ШАГОВ ДЛЯ НЕЛИНЕЙНОГО УРАВНЕНИЯ ШРЕДИНГЕРА

OPTIMIZATION OF COMPACT FINITE DIFFERENCE SCHEMES WITH SPECTRAL-LIKE RESOLUTIONS IN THE SPLIT-STEP METHOD FOR THE NON-LINEAR SCHRÖDINGER EQUATION

В. М. Волков,

*доктор физико-математических наук,
профессор кафедры веб-технологий и
компьютерного моделирования БГУ;*

А. Н. Гуревский,

*аспирант кафедры веб-технологий и
компьютерного моделирования БГУ*

V. Volkov,

*Doctor of Physics and Mathematics,
Professor of the Department of Web-
Technologies and Computer Modeling, BSU;*

A. Hureuski

*Post-Graduate Student of the
Department of Web-Technologies
and Computer Modeling, BSU*

Поступила в редакцию 30.06.16.

Received on 30.06.16.

Используя представление схемы с весами для нестационарного уравнения Шредингера в виде пары рекурсивных цифровых фазовых фильтров первого или второго порядков, получены оптимальные значения параметров разностной схемы, обеспечивающие минимизацию погрешности приближенного решения в заданном спектральном диапазоне. Эффективность оптимизированной схемы продемонстрирована путем сравнений с методом Фурье в схеме дробных шагов при моделировании динамики двухсолитонных решений нелинейного уравнения Шредингера. Показано почти четырехкратное улучшение точности схемы дробных шагов при замене традиционно используемого метода Фурье на оптимизированную схему с весами. Показано также, что двухпараметрическая оптимизация не дает заметных преимуществ в дальнейшем повышении эффективности предложенной методики.

Ключевые слова: разностные схемы; нелинейное уравнение Шредингера; рекурсивные цифровые фильтры; спектральное разрешение.

Using representations of the θ -method for the non-stationary Schrödinger equation as a couple of the all-pass IIR-filters of the first or second orders, optimal parameter values of the θ -method minimizing its error in the pre-defined spectral range are found. Efficiency of the optimized schemes is demonstrated by comparing to Fourier methods in the split-step scheme at simulations of the two-soliton bound state of the non-linear Schrödinger equation. About four-fold improvement of the accuracy in the split-step scheme with the optimized θ -method instead of the Fourier method is shown. It is shown also that the multi-parameters optimization does not provide essential advantages in the efficiency improvement of the proposed technique.

Keywords: finite-difference schemes; non-linear Schrödinger equation; infinite impulse response filters; spectral-like resolution.

Введение. В классической теории разностных схем оценки точности приближенных решений основаны на понятиях порядка аппроксимации и скорости сходимости [1, с. 96]. Кроме того, широкое распространение получил анализ амплитудно- и фазово-частотных характеристик разностных схем, с помощью которого удается получить дополнительные количественные и качественные критерии согласованности дискретных моделей. В частности, анализ согласованности разностных схем в терминах спектрального

разрешения является более тонким инструментом, который дает более подробную информацию о погрешности и открывает дополнительные возможности улучшения точности [2]. В этой связи естественным представляется использование результатов в области теории цифровой обработки сигналов для построения дискретных моделей с заданными спектральными свойствами.

Среди возможных приложений методов цифровой обработки сигналов для численного анализа дифференциальных

задач можно отметить перспективность применения цифровых фильтров в качестве альтернативы методу Фурье. Так, например, в работе [3] предложена модифицированная схема метода дробных шагов для решения нелинейных уравнений Шредингера (НУШ), в которой вместо традиционного метода Фурье [4] использован рекурсивный цифровой фильтр второго порядка. Вопросы оптимизации данной схемы с точки зрения минимизации ошибки функции группового запаздывания рассмотрены в работах [3; 5].

В работе [6] показано, что компактные разностные схемы для нестационарного уравнения Шредингера при определенных условиях допускают эквивалентное представление в виде пары сопряженных фильтров первого порядка. Использование эквивалентной однопараметрической схемы цифровой фильтрации [6] позволило найти оптимальные параметры дискретной модели, отвечающие минимальной фазовой погрешности в заданном спектральном диапазоне. Примечательно, что соотношение шагов сетки вида

$\tau = O(h^2)$, возникающее в оптимизированной схеме цифровой фильтрации, является оптимальным с точки зрения минимизации вычислительных затрат для достижения заданной точности приближенного решения в разностной схеме с весами [7].

В настоящей работе исследованы возможности дальнейшего улучшения спектральной согласованности дискретной модели нестационарного уравнения Шредингера на основе двухпараметрической схемы цифровой фильтрации. Представлены результаты численных экспериментов, показывающие преимущества схемы цифровой фильтрации по сравнению с аналогичной схемой расщепления, использующей метод Фурье на линейном шаге задачи.

Постановка задачи и численные методы. Рассмотрим задачу для уравнения Шредингера с кубической нелинейностью

$$i \frac{\partial u}{\partial t} + \frac{\partial^2 u}{\partial x^2} + 2|u|^2 u = 0, \quad x \in (-L, L), \quad (1)$$

с начальными и граничными условиями вида

$$u(0, x) = u_0(x), \quad u(t, -L) = u(t, L) = 0. \quad (2)$$

Важным свойством задачи (1), (2) является наличие интегральных законов сохранения, которые, согласно принципу консервативности [1, с. 143], полезно учитывать при построении численных методов. В частности, важным представляется наследование в рамках дискретной модели, по крайней мере, одного из серии интегральных инвариантов [9; 10]:

$$\frac{d}{dt} \int_{-L}^L |u(t, x)|^2 dx = 0. \quad (3)$$

Для численного решения задачи (1), (2) методом дробных шагов представим уравнение (1) в виде:

$$i \frac{\partial u}{\partial t} = L_d u + L_n u, \quad L_d u = -\frac{\partial^2 u}{\partial x^2}, \quad L_n u = -2|u|^2 u.$$

На равномерной сетке

$$\omega_n = \{x_k = -L + hk, \quad k = \overline{0, N}, \quad h = \frac{2L}{N}, \\ t_m = m\tau, \quad m = 0, 1, \dots\}$$

симметричная схема метода дробных шагов [4] для рассматриваемой задачи сводится к последовательности следующих операций:

$$\begin{aligned} \bar{U}(t + \tau, x) &= U(t, x) \cdot \exp(i\tau |U(t, x)|^2), \\ \bar{\bar{U}}(t + \tau, x) &= F^{-1} \left[H(\omega, \tau) \cdot F \left[\bar{U}(t + \tau, x) \right] \right], \\ U(t + \tau, x) &= \bar{\bar{U}}(t, x) \cdot \exp(i\tau |\bar{\bar{U}}(t, x)|^2). \end{aligned} \quad (4)$$

Здесь $F[U(t, x)]$, $F^{-1}[\psi(\omega)]$ – соответственно, прямое и обратное дискретное преобразование Фурье. Комплекснозначная функция

$$H(\omega, \tau) = \exp(-i\tau\omega^2), \\ \omega = \omega_k = \frac{\pi k}{L}, \quad k = \overline{-N/2, N/2 - 1}$$

может быть интерпретирована как передаточная функция дискретного фильтра, который точно описывает амплитудные и фазовые характеристики дифференциальной задачи в спектральном диапазоне, определяемом пространственной сеткой ω_n . Заметим, что

$$|H(\omega, \tau)| = 1, \quad \left| \exp(i\tau |U(t, x)|^2) \right| = 1,$$

откуда следует консервативность схемы (4):

$$\sum_{k=1}^{N-1} h |U(t_{m+1}, x_k)|^2 = \sum_{k=1}^{N-1} h |U(t_m, x_k)|^2, m = 1, 2, \dots \quad (5)$$

Как показано в работе [6], вместо метода Фурье для реализации линейного шага в схеме дробных шагов (4) может быть эффективно использована приближенная модель в виде двух сопряженных рекурсивных цифровых фильтров первого порядка:

$$\begin{aligned} U(t_m + \tau/2, x_k) &= \frac{ip(1-ip)}{1+ip} U(t_m, x_k) - \\ &- \frac{1-ip}{1+ip} U(t_m, x_{k-1}) + ipu(t_m + \tau/2, x_k), \\ U(t_m + \tau, x_k) &= \frac{ip(1-ip)}{1+ip} U(t_m + \tau/2, x_k) - \\ &- \frac{1-ip}{1+ip} u(t_m + \tau/2, x_{k+1}) + ipu(t_m + \tau, x_{k+1}). \end{aligned} \quad (6)$$

Передаточная функция, соответствующая последовательному применению фильтров (6), имеет вид

$$H_F(\omega, h, p) = \frac{(1-ip)^2}{(1+ip)^2} \cdot \frac{1-p^2 + 2ip \cos(\omega_k h)}{1-p^2 - 2ip \cos(\omega_k h)}, \quad (7)$$

где $0 < p < 1$ – действительный параметр, величина которого определяется условием:

$$\|H_F(\omega, p) - H(\omega, \tau)\| \rightarrow \min. \quad (8)$$

Очевидно, что $|H_F(\omega, p)| = 1$, следствием чего является консервативность схемы (6).

Для случая финитных решений задачи (1), (2) схема цифровой фильтрации (6) эквивалентна двухслойной разностной схеме с весами

$$\begin{aligned} &j \frac{U_k^{n+1} - U_k^n}{\tau} + \\ &+ \sigma \frac{U_{k+1}^{n+1} - 2U_k^{n+1} + U_{k-1}^{n+1}}{h^2} + \\ &+ (1-\sigma) \frac{U_{k+1}^n - 2U_k^n + U_{k-1}^n}{h^2} = 0, \end{aligned} \quad (9)$$

где

$$\begin{aligned} U_k^{n+1} &= U(t_n + \tau, x_k), \\ U_{k\pm 1}^n &= U(t_m, x_k \pm h), \end{aligned}$$

при следующих значениях параметров [6]:

$$\begin{aligned} \sigma &= \frac{1}{2} + \frac{ip}{1-p^2}, \\ \tau &= \tau_0(p) = 2h^2 p \frac{1-p^2}{(1+p^2)^2}. \end{aligned} \quad (10)$$

Важным частным случаем схемы (9) является схема повышенного порядка точности [1, с. 297], для которой

$$\sigma = \sigma_0 = \frac{1}{2} + \frac{ih^2}{12\tau}.$$

В рамках модели (6) случаю схемы повышенного порядка точности соответствует

значение параметра $p = p_0 = \sqrt{6} - \sqrt{5}$ [6]. В дальнейшем мы будем рассматривать схему на основе алгоритма цифровой фильтрации вида (6). Тем не менее все полученные результаты непосредственно обобщаются и на схему с весами (9), принимая во внимание условия эквивалентности (10).

Оптимизация схемы цифровой фильтрации. В качестве критерия оптимизации дискретной модели (6) рассмотрим условие (8), при этом норму погрешности определим в виде следующего функционала:

$$\|\delta(\Omega, p)\|^2 = \frac{1}{2\Omega} \int_{-\Omega}^{\Omega} |H(\bar{\omega}, \tau(p)) - H_F(\bar{\omega}, p)|^2 d\bar{\omega}, \quad (11)$$

где $\bar{\omega} = \omega \cdot h$ – нормированная частота, $0 < \Omega < \pi$ – относительный диапазон согласованности спектральных характеристик дискретной и дифференциальной моделей.

Аналогично рассмотрим двухпараметрическую схему в виде последовательности двух пар рекурсивных фильтров (6) с параметрами p_1 и p_2 . Функция передачи такой модели определяется произведением функций передачи ее составляющих:

$$H_F(\omega, p_1, p_2) = H_F(\omega, p_1) \cdot H_F(\omega, p_2). \quad (12)$$

Оптимальные значения параметров p_1 и p_2 определим из условия минимума погрешности функции передачи в заданном спектральном диапазоне $0 < \Omega < \pi$:

$$\begin{aligned} \|\delta(\Omega, p_1, p_2)\|^2 &= \\ &= \frac{1}{2\Omega} \int_{-\Omega}^{\Omega} |H(\bar{\omega}, \tau(p_{opt})) - (H_F(\bar{\omega}, p_1, p_2))|^2 d\bar{\omega} \rightarrow \min. \end{aligned} \quad (13)$$

Показатель степени

$$\theta = \tau(\rho_{opt})[\tau(\rho_1) + \tau(\rho_2)]^{-1}$$

в выражении (13) служит для приведения передаточной функции двухпараметрической модели к одинаковому временному интервалу с однопараметрической моделью (6), что позволит впоследствии сравнить их эффективность.

Оптимальные значения параметров, обеспечивающие минимальную погрешность передаточных функций в заданном спектральном диапазоне

$$\text{от } \Omega = \frac{\pi}{2} \text{ до } \Omega = \frac{\pi}{32},$$

представлены в таблице. В ней приведены также отношения минимальных погрешностей одно- и двухпараметрических моделей при оптимальных значениях параметров. Представленные результаты сравнения показывают, что двухпараметрическая модель обеспечивает снижение погрешности передаточной функции на 10–20 %, однако вместе с этим более чем на 25 % уменьшается эффективный шаг метода. Это позволяет сделать вывод, что оптимизация двухпараметрической модели (12), (13) не выявила ее преимуществ по сравнению с аналогичной однопараметрической схемой (6), (7).

Отметим, что при уменьшении диапазона спектральной согласованности оптимальное значение параметра ρ , обеспечивающее минимум погрешности фазово-частотных характеристик, стремится к

значению ρ_0 , соответствующему схеме четвертого порядка точности. Это говорит о том, что схема четвертого порядка точности оптимальна при расчете решений с бесконечно узким спектром в окрестности нулевой частоты. Поскольку на практике приходится иметь дело с решениями, имеющими конечную ширину спектра, то выбор параметра ρ следует осуществлять с учетом требуемого спектрального разрешения и шага сетки.

Результаты численного эксперимента. Оценим эффективность одно- и двухпараметрических схем цифровой фильтрации в сравнении с методом Фурье на примере моделирования двухсолитонных решений НУШ методом дробных шагов. Двухсолитонное решение НУШ имеет вид финитной, периодической по времени, бесконечно дифференцируемой функции [8, с. 115]:

$$u(t, x) = 4 \frac{\cosh(3x) + 3 \exp(8it) \cosh(x)}{\cosh(4x) + 4 \cosh(2x) + 3 \cos(8t)} e^{it}. \quad (14)$$

В случае двухпараметрической модели фильтрации симметричная схема дробных шагов может быть представлена в виде:

$$\begin{aligned} U(t + \tau_1, x) &= \\ &= U(t, x) \cdot \exp(i\tau_1 |U(t, x)|^2), \end{aligned} \quad (15)$$

$$\begin{aligned} \bar{U}(t + \tau_1, x) &= \\ &= F^{-1} \left[H_F(\omega, \rho_1) \cdot F(\bar{U}(t + \tau_1, x)) \right], \end{aligned} \quad (16)$$

Таблица – Оптимальные значения параметров и соотношения характеристик одно- и двухпараметрической схемы цифровой фильтрации для различных спектральных диапазонов

Ω	$\frac{\pi}{2}$	$\frac{\pi}{4}$	$\frac{\pi}{8}$	$\frac{\pi}{16}$	$\frac{\pi}{32}$
ρ_1	0.1144	0.0953	0.0907	0.0899	0.0884
ρ_2	0.3069	0.2638	0.2542	0.2520	0.2512
ρ_{opt}	0.2625	0.2249	0.2162	0.2142	0.2136
$\frac{2\tau(\rho_{opt})}{\tau(\rho_1) + \tau(\rho_2)}$	1.2504	1.2592	1.2611	1.2605	1.2658
$\frac{\ \delta(\Omega, \rho_{opt})\ }{\ \delta(\Omega, \rho_1, \rho_2)\ }$	1.0750	1.1654	1.1885	1.2180	1.2161

$$\begin{aligned} \bar{U}(t + \tau_1 + \tau_2, x) = \\ = \bar{\bar{U}}(t + \tau_1, x) \cdot \exp\left(i(\tau_1 + \tau_2) \left| \bar{\bar{U}}(t + \tau_1, x) \right|^2\right), \end{aligned} \quad (17)$$

$$\begin{aligned} \bar{\bar{U}}(t + \tau_1 + \tau_2, x) = \\ = F^{-1}\left[H_F(\omega, p_2) \cdot F\left(\bar{U}(t + \tau_1 + \tau_2, x)\right)\right], \end{aligned} \quad (18)$$

$$\begin{aligned} U(t + \tau_1 + \tau_2, x) = \\ = \bar{\bar{U}}(t + \tau_1 + \tau_2, x) \cdot \exp\left(i\tau_2 \left| \bar{\bar{U}}(t + \tau_1 + \tau_2, x) \right|^2\right). \end{aligned} \quad (19)$$

Здесь $\tau_1 = \tau(p_1)$, $\tau_2 = \tau(p_2)$. Аналогично (15–19), однопараметрическая схема имеет вид (4), где следует заменить $H(\omega, \tau)$ на

$H_F(\omega, p_{opt})$, $\tau = \tau(p_{opt})$, что эквивалентно использованию на линейном шаге алгоритма цифровой фильтрации (6). Очевидно, что двухпараметрическая схема (15–19) фактически включает в себя два цикла однопараметрической схемы (4) и отличается от нее только чередованием шагов сетки $\tau_1 = \tau(p_1)$ и $\tau_2 = \tau(p_2)$.

Спектр двухсолитонного решения (14) на отрезке $-20 \leq x \leq 20$ в момент макси-

мального уширения ($t = \pi / 8$) локализован преимущественно в области $-32 < k < 32$ (рисунок 1). Таким образом, удовлетворительное спектральное разрешение обеспечивает сетка с числом узлов $N \geq 64$ при $L = 20$.

На рисунке 2 представлены среднеквадратичные нормы погрешностей приближенных решений для рассмотренных численных методов в зависимости от числа узлов сетки $N = 2^k, k = 8, 11$:

$$\|\delta\| = \frac{\|U(T, x) - u(T, x)\|}{\|u(T, x)\|}, \quad T = 2. \quad (20)$$

При увеличении числа узлов сетки значение оптимальных параметров выбиралось в соответствии с таблицей. Таким образом, чтобы диапазон спектральной согласованности схем цифровой фильтрации покрывал область $-32 < k < 32$, где локализован спектр решения. На рисунке 1 границы области спектральной согласованности отмечены пунктирными вертикальными линиями.

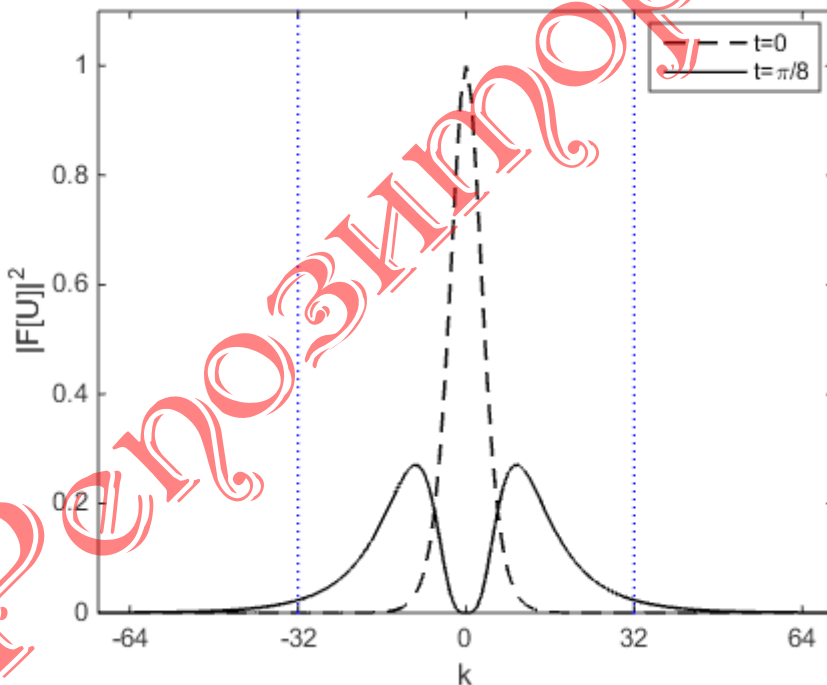


Рисунок 1 – Фурье-спектр двухсолитонного решения (11) при $t = 0$ и в момент максимального уширения ($t = \pi / 8$)

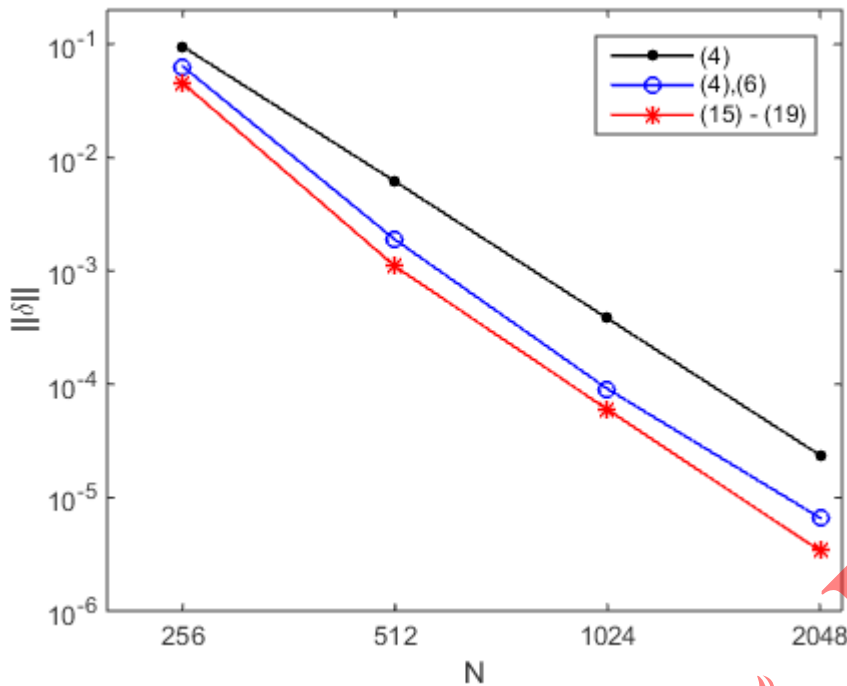


Рисунок 2 – Динамика погрешности приближенного решения задачи (1), (2), (14), полученного с использованием различных модификаций схемы дробных шагов: (4) – на основе метода Фурье; (4), (6) – с использованием оптимизированной схемы цифровой фильтрации; (15–19) – двухпараметрической схемы цифровой фильтрации

Представленные на рисунке 2 результаты, во-первых, показывают четвертый порядок скорости сходимости всех рассмотренных методов. Во-вторых, точность схемы расщепления с использованием рекурсивных фильтров (6) на стадии решения линейной части задачи при одинаковой величине шагов сетки более чем в четыре раза превосходит классическую схему расщепления (4) с использованием метода Фурье. Двухпараметрическая схема (15–19) обеспечивает несколько лучшую точность, но из-за того, что

$$\tau(p_1) + \tau(p_2) < 2\tau(p_{opt}),$$

количество шагов данной схемы более чем на 25 % превышает данный показатель для однопараметрической схемы. Данное обстоятельство не позволяет рассматривать двухпараметрическую оптимизацию схемы цифровой фильтрации в качестве радикального средства повышения ее эффективности, хотя некоторые аспекты данной модели представляют интерес, например, с точки зрения подавления искусственной синхронизации Фурье компонент решения при четырехволновом взаимодействии в средах с кубической нелинейностью [11].

Выводы. Предложенные схемы численного анализа нестационарного уравнения Шредингера на основе одно- и двухпараметрических рекурсивных цифровых фильтров, принимая во внимание условия эквивалентности данных методов и классической разностной схемы с весами, показывают возможность оптимизации параметров компактных разностных схем спектрального разрешения на основе критерия спектральной согласованности и методов цифровой обработки сигналов. Как показано ранее в работе [7], построенные алгоритмы с оптимальными параметрами превосходят в эффективности известные схемы повышенного порядка точности. Кроме того, использование данных алгоритмов в методе дробных шагов при решении линейной части задачи для НУШ позволяет при одинаковых размерах шагов сетки получить существенно меньшую погрешность по сравнению с методом Фурье. Показано, что двухпараметрическая оптимизация схемы цифровой фильтрации придает некоторую гибкость в выборе шага по времени, однако не обеспечивает фактического повышения эффективности метода.

Разработанная методика представляется перспективной в качестве альтернативы методу Фурье в тех случаях, когда требуется избежать эффектов, обусловленных условиями периодичности решения, а также в случае обработки больших массивов данных, когда использование

алгоритмов быстрого дискретного преобразования Фурье с вычислительной сложностью $O(N \log(N))$ становится более затратным по сравнению с разностным методом, имеющим оптимальную асимптотику вычислительной сложности $O(N)$.

ЛИТЕРАТУРА

1. Самарский, А. А. Теория разностных схем / А. А. Самарский – М. : Наука, 1983. – 616 с.
2. Lele, S. K. Compact finite difference schemes with spectral-like resolution / S. K. Lele // J. Comp. Phys. – 1992. – V. 103, № 1. – P. 16–42. – Англ.
3. A time-domain optical transmission system simulation package accounting for nonlinear and polarization-related effects in fiber / A. Carena et al. // IEEE J. selected areas in communications. – 1997. – V. 15, № 4. – P. 751–765. – Англ.
4. Fleck, J. A. Time-dependent propagation of high energy laser beams through the atmosphere / J. A. Fleck, J. R. Morris, M. D. Feit // Applied Phys. – 1976. – V. 10, № 2. – P. 129 – 160. – Англ.
5. Improved split-step method for efficient fiber simulations / M. Plura [et al.] // Electronics Letters. – 2001. – Vol. 37, № 5. – P. 286–287. – Англ.
6. Волков, В. М. Метод дробных шагов с использованием рекурсивных цифровых фильтров для решения нелинейных уравнений Шредингера / В. М. Волков, А. С. Циунчик // Докл. НАН Беларуси. – 2009. – Т. 53, № 5. – С. 22–25.
7. Волков, В. М. Оптимизация компактных разностных схем спектрального разрешения для нестационарного уравнения Шредингера на основе методов цифровой обработки сигналов / В. М. Волков, А. Н. Гуревский, И. В. Жукова // Вестник БГУ. – 2015. – № 3. – С. 84–89.
8. Агравал, Г. Нелинейная волоконная оптика / Г. Агравал. – М. : Мир, 1996. – 323 с.
9. Карамзин, Ю. Н. Математическое моделирование в нелинейной оптике / Ю. Н. Карамзин, А. П. Сухорук, В. А. Трофимов. – М. : Изд-во МГУ, 1989. – 154 с.
10. Волков, В. М. О консервативности, точности и асимптотических свойствах численных методов для нелинейных уравнений шредингеровского типа / В. М. Волков, Н. П. Мацука // Дифференц. уравнения. – 2000. – Т. 36 – № 7. С. 930–938.
11. Bosco, G. Suppression of spurious tones induced by the split-step method in fiber systems simulation / G. Bosco [et al.] // IEEE Photonics Technology Letters. – 2000. – V. 12, № 5. – P. 489–491. – Англ.

REFERENCES

1. Samarskiy, A. A. Teoriya raznostnykh skhem / A. A. Samarskiy. – M. : Nauka, 1983. – 616 s.
2. Lele, S. K. Compact finite difference schemes with spectral-like resolution / S. K. Lele // J. Comp. Phys. – 1992. – V. 103, №1. – P. 16–42.
3. A time-domain optical transmission system simulation package accounting for nonlinear and polarization-related effects in fiber / A. Carena et al. // IEEE J. selected areas in communications. – 1997. – V. 15, № 4. – P. 751–765.
4. Fleck, J. A. Time-dependent propagation of high energy laser beams through the atmosphere / J. A. Fleck, J. R. Morris, M. D. Feit // Applied Phys. – 1976. – V. 10, № 2. – P. 129 – 160.
5. Improved split-step method for efficient fiber simulations / M. Plura [et al.] // Electronics Letters. – 2001. – Vol. 37, № 5. – P. 286–287.
6. Volkov, V. M. Metod drobnnykh shagov s ispolzovaniem rekursivnykh tsifrovyykh filtrov dlya resheniya nelineynykh uravneniy Shryodingera / V. M. Volkov, A. S. Tsiunchik // Dokl. NAN Belarusi. – 2009. – T. 53, № 5. – S. 22–25.
7. Volkov, V. M. Optimizatsiya kompaktnykh raznostnykh skhem spektralnogo razresheniya dlya nestatsionarnogo uravneniya Shryodingera na osnove metodov tsifrovoy obrabotki signalov / V. M. Volkov, A. N. Gurevskiy, I. V. Zhukova // Vestnik BGU. – 2015. – № 3. – S. 84–89.
8. Agraval, G. Nelineynaya volokonnaya optika / G. Agraval. – M. : Mir, 1996. – 323 s.
9. Karamzin, Yu. N. Matematicheskoye modelirovaniye v nelineynoy optike / Yu. N. Karamzin, A. P. Sukhorukov, V. A. Trofimov. M. : Izd-vo MGU, 1989. – 154 s.
10. Volkov, V. M. O konservativnosti, tochnosti i asimptoticheskikh svoystvakh chislennykh metodov dlya nelineynykh uravneniy shryodingerovskogo tipa // V. M. Volkov, N. P. Matsuka // Differents. uravneniya. – 2000. – T. 36 – № 7. S. 930 – 938.
11. Bosco, G. Suppression of spurious tones induced by the split-step method in fiber systems simulation / G. Bosco [et al.] // IEEE Photonics Technology Letters. – 2000. – V. 12, № 5. – P. 489–491.